

• 研究论文 •

# 抗残杀威和敏感家蝇乙酰胆碱酯酶生化特性研究

袁建忠<sup>1,2</sup>, 孙晓琴<sup>1</sup>, 唐振华<sup>1,2</sup>, 陶黎明<sup>\* 1,3</sup>

(1. 华东理工大学 药学院, 上海 200237; 2. 中国科学院 上海生命科学院 上海植物生理生态研究所, 上海 200032;

3. 上海市农药研究所, 上海 200032)

**摘要:** 对家蝇残杀威抗性(RR)和敏感(SS)品系乙酰胆碱酯酶(acetylcholinesterase, AChE)(RR-和SS-AChE)的生化特性研究后发现, RR-和SS-AChE存在着明显的差异: 1) RR-和SS-AChE最适反应温度分别为37℃和34℃, 但最适pH值均为7.4; 2) AChE催化底物的能力不同, RR-AChE水解碘化硫代乙酰胆碱(ATCh)、碘化硫代-酰胆碱(BTCh)、碘化硫代丙酰胆碱(PTCh)的活力高于SS-AChE, 其相应的最大反应速率( $V_{max}$ )分别是SS-AChE的2.22, 1.08和3.41倍; 3)从双分子速率常数(bimolecular constant K<sub>i</sub>)来看, RR-AChE对4种氨基甲酸酯类抑制剂(残杀威、克百威、甲萘威、灭多威)的敏感度分别是SS-AChE的46.77, 28.15, 66.15和15.00倍, 对4种有机磷类抑制剂(马拉氧磷、甲胺磷、氯乐果和氧化三唑磷)的敏感度分别是7.66, 12.13, 3.81和2.25倍; 4)上述抑制剂与RR-AChE分子相互作用的亲和力常数( $K_a$ )均大于与SS-AChE的值; 5) RR-AChE的磷酸化或氨基甲酰化常数( $K_2$ )值都低于SS-AChE的值。表明RR-AChE的性质已发生变化。

**关键词:** 家蝇; 杀虫剂; 乙酰胆碱酯酶; 抗药性; 酶动力学分析

中图分类号: S481.4 Q965.9

文献标志码: A

文章编号: 1008-7303(2009)02-0181-05

## Study on Biochemical Properties of Acetylcholinesterase from Propoxur-Resistant and Susceptible Strains of the Housefly, *Musca domestica*

YUAN Jian-zhong<sup>1,2</sup>, SUN Xiao-qin<sup>1</sup>, TANG Zhen-hua<sup>1,2</sup>, TAO Li-ming<sup>\* 1,3</sup>

(1. School of Pharmacy, East China University of Science & Technology, Shanghai 200237, China;

2. Shanghai Institute of Plant Physiology and Ecology, Shanghai Institutes for Biological Sciences, the Chinese Academy of Sciences, Shanghai 200032, China; 3. Shanghai Pesticide Research Institute, Shanghai 200032, China)

**Abstract** It was found by study of biochemical properties of acetylcholinesterase (RR-and SS-AChE) that the propoxur-resistant (RR) and susceptible (SS)-AChE of the housefly, *Musca domestica* were different in the following aspects: 1) The optimum temperature of AChE in the RR and SS strains was found at 37℃ and 34℃, respectively. But the optimum pH value was all the same, 7.4. 2) The capability of substrate hydrolyzed by the two AChEs existed markedly difference. The  $V_{max}$  ratios of RR-to SS-AChE were 2.22 for ATCh, 1.08 for BTCh and 3.41 for PTCh. 3) Based on the bimolecular rate constant ( $K_i$ ), the RR-AChE was 46.77-, 28.15-, 66.15- and 15.00-fold less sensitive to four carbamates propoxur, carbofuran, carbaryl and methomyl than was 7.66-, 12.13-, 3.81 and 2.25-fold.

收稿日期: 2008-08-08 修回日期: 2008-12-30

作者简介: 袁建忠(1969-), 男, 硕士, 助理研究员, E-mail: yuanjg188@126.com; 孙晓琴(1983-, 并列第一作者), 女, 湖北省人, 硕士研究生; \* 通讯作者(Author for correspondence): 陶黎明(1958-), 男, 上海人, 博士生导师, 主要从事杀虫剂分子毒理学研究, 联系电话: 021-59883850 E-mail: taohm@sh163.net

基金项目: 国家重点基础研究发展规划("973"计划)项目(2003CB114403).

less sensitive to four organophosphates malaoxon, methan idophos, on ethoate and triazophos oxon respectively. 4) The affinity constant ( $K_a$ ) values of the tested inhibitors with RR-AChE were all higher than that of SS-AChE. 5) The phosphorylation or carbamylation constant ( $K_2$ ) values of RR-AChE were all less than that of SS-AChE. All these data implied that RR-AChE was qualitatively altered.

**Key words** *Musca dom estica*; insecticides; acetylcholinesterases; resistance; AChE kinetic analysis

据报道,家蝇对常用杀虫剂均已产生抗性<sup>[1]</sup>,其中对有机磷(OP)和氨基甲酸酯类(CB)杀虫剂的主要抗性机理除了解毒酶活性增高外,还有靶标酶——乙酰胆碱酯酶(AChE, EC, 3.1.17)敏感度降低<sup>[2,3]</sup>。在许多昆虫中已被证实靶标抗性与AChE基因(ace)突变有关<sup>[4]</sup>。不少学者应用定点突变技术,对不同突变组合的ace表达的AChE蛋白的功能进行了研究,进一步揭示了ace不同位点的突变及其组合与抗性的关系<sup>[5~8]</sup>。笔者曾对残杀威抗性(RR)和敏感(SS)家蝇品系的抗性谱和抗性机理进行了研究,并对这两个品系的ace基因进行了克隆和序列比较,发现其抗性与4个基因突变(V261L、G343A、F408Y和D422V)有关,并对这些突变基因进行了表达和功能的研究<sup>[5~9]</sup>,但对RR和SS品系的AChE(RR-和SS-AChE)的生化特性尚未进行详细研究,也未见相关报道,本文就这方面的研究结果报告如下。

## 1 材料与方法

### 1.1 供试昆虫

敏感(SS)和抗性家蝇(RR)品系的选育和抗性谱见前文<sup>[5,9]</sup>。

### 1.2 试剂及仪器

二硫双对硝基苯甲酸(DTNB)、曲通X-100碘化硫代乙酰胆碱(ATCh)、碘化硫代丙酰胆碱(PTCh)、碘化硫代丁酰胆碱(BTCh)均为Sigma公司产品;98%灭多威(methomyl)、99.9%残杀威(propoxur)、97.7%甲萘威(carbaryl)、99.4%克百威(carbofuran)、98.5%甲胺磷(methan idophos)、95%氧乐果(on ethoate)、95.5%马拉氧磷(malaoxon)、94%氧化三唑磷(triazophos oxon)均为迪马公司产品;考马斯亮蓝G-250和牛血清白蛋白(bovine serum albumin, BSA)为Fluka公司产品。

Baekman DU-640蛋白核酸分析仪;PERKIN ELMER GeneAm p 2400PCR仪。

### 1.3 实验方法

1.3.1 家蝇粗酶源的制备 将羽化后2~3d的家蝇成虫置于-72℃的超低温冰箱内30min,取

其头部,按每400头加5mL冰冷磷酸缓冲液(PB, 25mmol/L, pH 7.4含1%曲通-100)的比例,于冰上匀浆。匀浆液于4℃12000×g离心24min,经脱脂棉过滤,取上清液作为酶源,4℃下保存备用。

1.3.2 家蝇AChE活性测定 采用Ellman<sup>[10]</sup>比色法,并经改进<sup>[11]</sup>。以AChE水解底物生成的巯基与DTNB结合产生黄色产物的量作为AChE活力的指标。于412nm下测定光密度值(OD),计算AChE活力。

500μL酶反应体系中含有50μL酶和450μL 25mmol/L的Ellman溶液。其中,25mmol/L的Ellman溶液由50mL显色剂和50μL 1mol/L的ATCh(PTCh或BTCh)组成。

显色剂的配制:称取DTNB 91mg和碳酸氢钠37.5mg用25mmol/L的PB缓冲液溶解并定容至1L。

1.3.3 RR-和SS-AChE最适反应pH值测定 用pH值为5.8、6.0、6.2、6.4、6.6、6.8、7.0、7.2、7.4、7.6、7.8、8.0的PB缓冲液,分别从抗性和敏感家蝇中提取RR-和SS-AChE,再分别取50μL酶液,加入450μL 25mmol/L的Ellman溶液中,室温下混匀,在蛋白核酸分析仪上测定其在412nm处的OD值,分别计算RR-和SS-AChE的活力。每处理至少重复3次。

1.3.4 RR-和SS-AChE最适反应温度测定 将用最适pH值的PB缓冲液提取的AChE 50μL置于聚合酶链反应(PCR)管中,在PCR仪上设定温度在4~50℃之间,分别保育10min后加入到450μL Ellman溶液中,在蛋白核酸分析仪上测定其在412nm下的OD值,计算不同反应温度下RR-和SS-AChE的活力。每处理至少重复3次。

1.3.5 RR-和SS-AChE最适底物比较 分别以1μmol/L至200mmol/L的ATCh、BTCh和PTCh为底物,在最适反应温度下水解,混匀后测定RR-和SS-AChE的活力。每处理至少重复3次。

1.3.6 RR-和SS-AChE双分子速率常数( $K_i$ )值的测定 参照Foumier<sup>[12]</sup>方法,将酶与抑制剂混合

后,在最适 pH 值及 25 mmol/L 的 PB 中孵育。分别在不同时间段取其 50 μL 加入到 450 μL Ellman 溶液中,测定剩余酶活力。剩余自由酶  $[E]/[E_0]$  随时间的变化可用剩余酶活力  $[A]/[A_0]$  来表示。抑制动力学的测定采用不同浓度的抑制剂;以抑制剂的浓度和作用时间作为变量,利用多重非线性回归软件 GOSA 1.0 分析  $K_i$  值。

1.3.7 RR- 和 SS-AChE 磷酰化或氨基甲酰化常数 ( $K_2$ ) 和亲和力常数 ( $K_a$ ) 的测定 参考 Main<sup>[13]</sup> 的方法,将酶与不同浓度的抑制剂混合后,在最适 pH 值及 25 mmol/L 的 PB 中孵育。3 min 内,于不同时间段取出 50 μL 加入到 450 μL Ellman 溶液中,测定剩余酶活力。以抑制剂的浓度和作用时间为变量,通过 Main 的公式求出  $K_2$  和  $K_a$ 。

1.3.8 AChE 热稳定性测定 参考 Shi 的方法<sup>[6]</sup>,将 RR- 和 SS-AChE 分别置于 40~60℃ 下进行热变性。在热变性过程的不同时间(时间间隔为 2 min)各取出 50 μL 酶液,加入到 450 μL Ellman 溶液中,测定剩余酶活力。一级变性速率常数 ( $K_d$ ) 用非线性回归软件 GOSA 1.0 分析。

1.3.9 蛋白质含量测定 参考 Bradford<sup>[14]</sup> 考马斯亮蓝法<sup>[14]</sup>。

## 2 结果与分析

### 2.1 pH 值对 AChE 活力的影响

通过对 RR- 和 SS-AChE 反应速度与缓冲液 pH 值关系的研究发现, pH 值为 7.4 时, RR- 和 SS-AChE 活力均最高(图 1)。pH 值 < 7.4 时, SS- 和 RR-AChE 活力随 pH 值的升高而升高, pH 值 > 7.4 时, 酶活力随 pH 值的升高而降低。

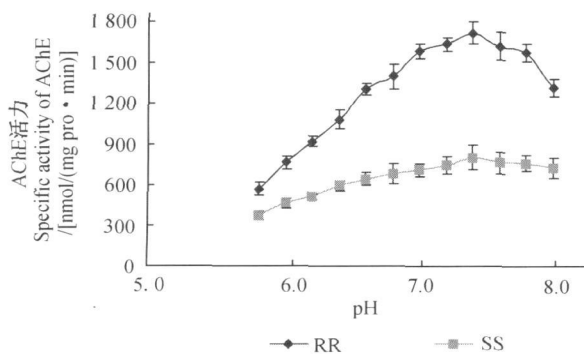


图 1 缓冲液 pH 对 RR- 和 SS-AChE 活力的影响

Fig. 1 Effect of pH values on specific activity of AChE from RR and SS strains

### 2.2 温度对 RR- 和 SS-AChE 活力的影响

温度对 RR- 和 SS-AChE 活力的影响存在明显差异,其最适温度分别为 37℃ 和 34℃(见图 2)。温度对 AChE 的作用具有双重影响,一方面温度升高可加速酶反应速度,另一方面由于 AChE 是蛋白质,温度升高可加速蛋白的变性速度,因而在较低的温度范围内,酶反应速度随温度升高而增大,但是超过一定温度后,酶反应速度反而下降。

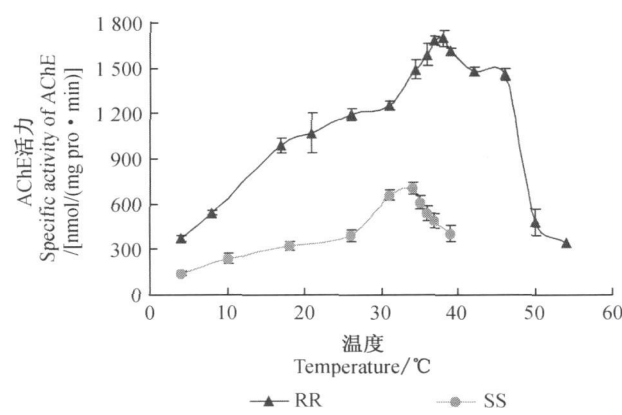


图 2 温度对 RR- 和 SS-AChE 活力的影响

Fig. 2 Influence of temperature to RR- and SS-AChE activity

### 2.3 RR- 和 SS-AChE 底物特异性

表 1 显示了 SS- 和 RR-AChE 对底物 ATCh、BTCh、PTCh 的米氏常数 ( $K_m$ ) 和最大反应速率 ( $V_{max}$ )。比较 SS-AChE 对 3 种底物的  $K_m$  值,发现其对 ATCh 的  $K_m$  值最小,说明 ATCh 是该酶的最佳底物。比较 RR-AChE 对 3 种底物的  $K_m$  值,发现其对 BTCh 的  $K_m$  值最小,PTCh 次之,ATCh 最大。RR-AChE 对底物 ATCh 的  $K_m$  值是 SS-AChE 的 3.92 倍,  $V_{max}$  值是 SS-AChE 的 2.22 倍。RR- 和 SS-AChE 的  $V_{max}$  和  $K_m$  值的差异表明这两个品系存在着不同类型的 AChE。

### 2.4 RR- 和 SS-AChE 的稳定性

采用不可逆性的热灭活方法,变性温度范围从 40℃ 至 60℃。利用一级变性速率常数 ( $K_d$ ) 与绝对温度的倒数 ( $1/K$ ) 作图 (Arrhenius plot),发现 RR-AChE 热稳定性趋势要比 SS-AChE 的低(图 3),而 RR 与 SS 混合的 AChE(1:1) 的热稳定性介于两者之间。

### 2.5 八种抑制剂对 RR- 和 SS-AChE 的 $K_i$ 值测定

离体抑制试验发现,RR-AChE 对 8 种抑制剂均存在不同程度的不敏感性。RR-AChE 对 CB 的

表 1 RR- 和 SS-AChE 水解 ATCh、BTCh 和 PTCh 的米氏常数 ( $K_m$ ) 和最大反应速率 ( $V_{max}$ )Table 1  $K_m$  and  $V_{max}$  of ATCh, BTCh and PTCh hydrolyzed by RR- and SS-AChE

底物 Substrate	$K_m \pm SE / (\mu\text{mol/L})$		比值 (RR/SS)	$V_{max} / [\mu\text{mol/(mg protein} \cdot \text{min})]$		比值 (RR/SS)
	SS	RR		SS	RR	
ATCh	72.38 ± 9.08	283.95 ± 50.40	3.92	1275.28 ± 98.34	2827.88 ± 333.61	2.22
BTCh	75.61 ± 1.61	129.71 ± 19.74	1.72	285.94 ± 3.64	309.56 ± 19.49	1.08
PTCh	139.54 ± 9.88	197.93 ± 23.81	1.41	388.28 ± 14.24	1322.30 ± 85.23	3.41

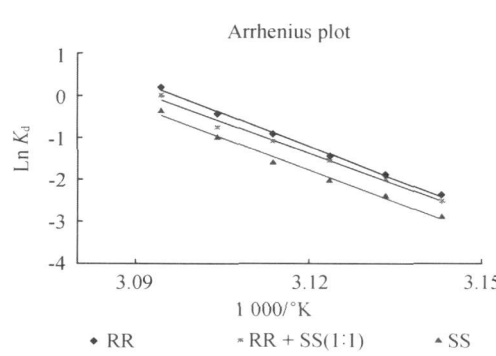


图 3 RR- 和 SS-AChE 的热稳定性

Fig. 3 The thermal stabilization of RR- and SS-AChE

不敏感性要高于对 OPs 这一结果与活体的生物测定结果相吻合<sup>[5]</sup>, 即  $K_i$  (SS/RR) 比值越大,  $LD_{50}$  (RR/SS) 比值越大。其中对甲萘威的不敏感性最高,  $K_i$  (SS/RR) 达 66.15 倍, 其次为残杀威、克百威和灭多威, 分别为 46.77、28.15 和 15.00 倍; 对 4 种 OPs 的抗性较低, 对甲胺磷、马拉氧磷、氯乐果和氧化三唑磷的抗性分别为 12.13、7.66、3.81 和 2.25 倍。同时通过酶与抑制剂的亲和力常数 ( $K_a$ ) 值的测定发现, RR 品系的  $K_a$  值均高于 SS 品系, 但  $K_2$  值均低于 SS 品系 (表 3)。

### 3 讨论

昆虫对 OP 和 CB 类杀虫剂的靶标抗性与 ace

表 2 八种抑制剂对 SS 和 RR-AChE 的双分子反应速率常数 ( $K_i$ ) 值Table 2 Bimolecular rate constants ( $K_i$ ) of eight inhibitors to SS- and RR-AChE

抑制剂 Inhibitor	$K_i \pm SE / (\mu\text{mol}^{-1} \cdot \text{min}^{-1})$		比值 Ratio (SS/RR)
	SS	RR	
残杀威 propoxur	0.29 ± 0.01	$0.62 \times 10^{-2} \pm 0.02 \times 10^{-2}$	46.77
灭多威 methomyl	0.30 ± 0.03	$0.02 \pm 0.01$	15.00
克百威 carbophuran	0.76 ± 0.15	$0.27 \times 10^{-1} \pm 0.04 \times 10^{-1}$	28.15
甲萘威 carbaryl	$0.43 \times 10^{-1} \pm 0.04 \times 10^{-1}$	$0.65 \times 10^{-3} \pm 0.09 \times 10^{-3}$	66.15
马拉氧磷 malaoxon	0.49 ± 0.02	$0.64 \times 10^{-1} \pm 0.04 \times 10^{-1}$	7.66
氯乐果 omethoate	$0.61 \times 10^{-2} \pm 0.04 \times 10^{-2}$	$0.16 \times 10^{-2} \pm 0.02 \times 10^{-2}$	3.81
氧化三唑磷 triazophosoxon	$0.54 \times 10^{-2} \pm 0.05 \times 10^{-2}$	$0.24 \times 10^{-2} \pm 0.04 \times 10^{-2}$	2.25
甲胺磷 methidiphosph	$0.97 \times 10^{-3} \pm 0.02 \times 10^{-3}$	$0.80 \times 10^{-4} \pm 0.06 \times 10^{-4}$	12.13

\*  $P < 0.05$

突变有关, 目前涉及 ace 突变的昆虫已有 20 多种<sup>[4]</sup>。昆虫的 ace 突变有可能导致 AChE 对 OPs 和 CBs 的敏感度降低<sup>[8~17]</sup>。抗性马铃薯叶甲 Leptinotarsa decemlineata 的 AChE 的丝氨酸变甘氨酸, 不仅会导致其对谷硫磷敏感度降低, 还会对马铃薯叶甲的内禀增长率和相对适合度产生负面影响<sup>[15]</sup>。Shi 等研究表明, 抗性果蝇适合度与 AChE 基因突变也有一定的负相关性<sup>[18]</sup>。在大多数 AChE 变构引起的昆虫抗性中, 抗性程度与  $K_i$  之间具有良好的相关性<sup>[6~18]</sup>。笔者通过对抗残杀威家蝇的活体 (in vivo) 与离体 (in vitro) 测定结果表明, 家蝇 RR 与 SS 品系的  $LD_{50}$  的比值<sup>[5]</sup>与 SS

与 RR  $K_i$  的比值之间有一定的正相关性 (表 2)。同时通过对家蝇 RR- 和 SS-AChE 生化性质的研究发现, 家蝇 RR- 和 SS-AChE 性质存在很大的差异。主要体现在: 1) RR- 和 SS-AChE 水解底物 ATCh 的最适温度存在差异 (分别为 37°C 和 34°C), 而最适 pH 值均为 7.4。这一结果告诉我们, RR- 和 SS-AChE 的特性存在差异, 若在同一条件下测定两者 AChE 活性, 则所得结果将是不确切的。2) 在最适的反应条件下, RR- 和 SS-AChE 对 3 种底物 ATCh、BTCh、PTCh 的水解能力也存在差异, RR-AChE 对 ATCh 和 PTCh 两种底物的水解效率有明显的增高,  $V_{max}$  值分别是 SS 的 2.22 和 3.41 倍; 而

表 3 八种抑制剂与 SS 和 RR-AChE 的亲和力常数 ( $K_a$ ) 和磷酸化或氨基甲酰化常数 ( $K_2$ )  
Table 3 Affinity ( $K_a$ ) and phosphorylation or carbamylation ( $K_2$ ) constants of eight  
inhibitors with SS- and RR-AChE

抑制剂 Inhibitor	$K_a \pm SE / \mu\text{mol}$		RR / SS	$K_2 \pm SE / (\text{m}^{-1})$		RR / SS
	SS	RR		SS	RR	
残杀威 propoxur	87.87 ± 5.23	3.02 ± 0.11	29.10	0.55 ± 0.03	0.87 ± 0.04	0.63
灭多威 methomyl	52.63 ± 3.59	2.93 ± 0.04	17.96	0.76 ± 0.05	0.87 ± 0.03	0.87
克百威 carbofuran	56.26 ± 3.69	3.12 ± 0.09	18.03	1.52 ± 0.04	2.38 ± 0.43	0.64
甲萘威 carbaryl	335.1 ± 23.7	24.16 ± 1.23	13.87	0.22 ± 0.01	1.04 ± 0.02	0.21
马拉氧磷 malaoxon	11.25 ± 1.53	4.38 ± 0.03	2.57	0.72 ± 0.05	2.13 ± 0.19	0.34
氯乐果 omethoate	88.2 ± 22.6	78.49 ± 8.22	11.10	0.31 ± 0.02	0.45 ± 0.03	0.69
氧化三唑磷 triazophosoxon	261.1 ± 15.6	163.7 ± 19.9	1.60	0.64 ± 0.03	0.88 ± 0.06	0.73
甲胺磷 methamiphosphos	$1.54 \times 10^4 \pm 1.360$	5.294 ± 5.51	2.90	1.24 ± 0.96	5.12 ± 0.21	0.24

对 3 种底物的亲和力均有不同程度的下降,  $K_m$  值分别是 SS-AChE 的 3.92、1.72 和 1.41 倍, 尤其对底物 ATCh 的亲和力下降最为明显, 表明 RR 家蝇在对杀虫剂形成抗性时有可能产生一个催化效率更高的 AChE<sup>[2]</sup>。3) RR-AChE 水解 ATCh 的活力明显高于 SS-AChE。4) RR-AChE 的热稳定性要低于 SS-AChE。5) RR-AChE 对各种抑制剂的  $K_i$  值和磷酸化或氨基甲酰化常数 ( $K_2$ ) 均低于 SS-AChE, 而抑制剂与 RR-AChE 的亲和力常数 ( $K_a$ ) 值均大于 SS-AChE。

这些研究结果不仅对研究抗性和敏感昆虫 AChE 具有重要的提示作用, 而且无论从活体、离体到基因水平和异体表达的功能蛋白都证明抗性和敏感品系的 AChE 在性质上不同, 这为设计合成和筛选反抗性化合物提供了重要依据。

## 参考文献:

- [1] LIM ei(李梅), HE Feng-qin(何凤琴), QIU Xing-hui(邱星辉). 家蝇抗药性的分子遗传机制 [J]. Acta Parasitologica et Medica Entomologica Sinica(寄生虫与医学昆虫学报), 2005, 12(4): 238-244.
- [2] FOURNIER D, MATERO A. Modification of Acetylcholinesterase as a Mechanism of Resistance to Insecticides [J]. Comp Biochem Physiol, 1994, 108C(1): 19-31.
- [3] XU Xin-jun(许新军), HAN Zhao-jun(韩召军), JIANG Xiao-jing(姜晓静). 昆虫 AChE 基因变异抗药性机制研究 [J]. Chinese Bulletin of Entomology(昆虫知识), 2007, 44(2): 191-194.
- [4] WANG Dun(王敦), TANG Zhen-hua(唐振华), SHANG Jin-yan(尚金燕), et al. 昆虫乙酰胆碱酯酶基因研究进展 [J]. Acta Entomologica Sinica(昆虫学报), 2006, 49(3): 497-503.
- [5] TAO L M, SHIM A, YUANG JZ, et al. Resistance Pattern and Point Mutations of Inensitive Acetylcholinesterase in a Carbamate-resistant Strain of Housefly (*Musca domestica*) [J]. Pestic Biochem Physiol, 2006, 86: 1-6.
- [6] WALSH S B, DOLDEN T A, MOORES G D, et al. Identification and Characterization of Mutations in Housefly (Musca domestica) Acetylcholinesterase Involved in Insecticide Resistance [J]. Biochem J, 2001, 359: 175-181.
- [7] KOZAKI T, SHONO T, TOMITA T, et al. Fenitroxin Insensitive Acetylcholinesterases of the Housefly, *Musca domestica* Associated with Point Mutations [J]. Insect Biochem Mol Biol, 2001, 31: 991-997.
- [8] KRISTENSEN M, HUANG J QIAO C L, et al. Variation of *Musca domestica* L. Acetylcholinesterase in Danish Housefly Populations [J]. Pest Manage Sci, 2006, 62: 738-745.
- [9] SHI Ming-an(施明安). Expression and Characterization of Acetylcholinesterases from *Drosophila melanogaster* and *Musca domestica*(果蝇和家蝇乙酰胆碱酯酶的表达和功能研究) [D]. Beijing(北京): Graduate University of Chinese Academy of Sciences(中国科学院研究生院), 2003.
- [10] ELIMAN G L, COUNTY K D, ANDRES V, et al. A New and Rapid Colorimetric Determination of Acetylcholinesterase Activity [J]. Biochem Pharmacol, 1961, 7: 88-95.
- [11] GORDON M A, CARPENTER D E, BARRETT H W, et al. Determination of Normality of Cholinesterase Solutions [J]. Anal Biochem, 1978, 85: 519.
- [12] FOURNIER D, BRIDE J M, HOFFMANN F, et al. Acetylcholinesterase: Two Types of Modifications Confer Resistance to Insecticide [J]. Biochem J, 1992, 267: 14270-14274.
- [13] MAIN A R. Affinity and Phosphorylation Constant for the Inhibition of Esterases by Organophosphates [J]. Science, 1964, 144: 992.
- [14] BRADFORD M M. A Rapid and Sensitive Method for the Quantitation of Microgram Quantities of Protein Utilizing the Principle of Protein-dye Binding [J]. Anal Biochem, 1976, 72: 248-254.
- [15] ZHU K Y, LEE S H, CLARK J M. A Point Mutation of Acetylcholinesterase Associated with Zincophosphoryl Resistance and Reduced Fitness in Colorado Potato Beetle [J]. Pestic Biochem Physiol, 1996, 55: 100-108.
- [16] ZHU K Y, CLARK J M. Validation of a Point Mutation of Acetylcholinesterase in Colorado Potato Beetle by Polymerase Chain Reaction Coupled to Enzyme Inhibition Assay [J]. Pestic Biochem Physiol, 1997, 57: 28-35.
- [17] TAYOR P, RADIC Z. The Cholinesterases From Genes to Proteins [J]. Annu Rev Pharmacol Toxicol, 1994, 34: 281-320.
- [18] SHI M A, LOUGARRE A, ALIES C, et al. Acetylcholinesterase Alterations Reveal the Fitness Cost of Mutations Conferring Insecticide Resistance [J]. BMC Evolutionary Biology, 2004, 4: 1471-2148.

(Ed JIN SH)